

# Особенности спинового упорядочения в изинговском антиферромагнетике с одноионной анизотропией типа „легкая плоскость“

© В.М. Калита, Г.Ю. Лаванов\*, В.М. Локтев\*\*

Национальный технический университет Украины „Киевский политехнический институт“,  
03056 Киев, Украина

\* Институт физики Национальной академии наук Украины,  
03028 Киев, Украина

\*\* Институт теоретической физики им. Н.Н. Боголюбова Национальной академии наук Украины,  
03143 Киев, Украина

E-mail: vloktev@bitp.kiev.ua

(Поступила в Редакцию в окончательном виде 3 июля 2007 г.)

Проведен термодинамический анализ спинового упорядочения в изинговском антиферромагнетике с легкоплоскостной одноионной анизотропией. Проанализированы решения уравнений состояния и построена фазовая диаграмма. Показано, что при возрастании константы одноионной анизотропии по мере усиления конкуренции между одноионной анизотропией и обменным взаимодействием происходит изменение рода перехода от непрерывного к скачкообразному. Это вызвано изменением заселенностей ионных состояний, происходящим под действием одноионной анизотропии, и вымораживанием ионных состояний с ненулевой проекцией спина. Также при возрастании величины одноионной анизотропии изменяется тип фазового перехода между парамагнитным и антиферромагнитным состояниями с перехода типа порядок–беспорядок к переходу типа порядок–порядок.

PACS: 75.10.-b, 75.30.Gw, 75.50.Ee

## 1. Введение

Изучение магнетиков с большой одноионной анизотропией (ОА), сравнимой с обменным взаимодействием (ОВ), представляет большой интерес, особенно в случае, когда такая анизотропия конкурирует с ОВ. По своему влиянию ОА отличается от многоионной анизотропии обменной или дипольной природы [1,2], обычно описываемых в квазиклассическом подходе. При этом ОА играет важную роль не только при рассмотрении спиновой динамики (см. обзор [3] и цитируемую в нем литературу), но и при фазовых переходах (ФП) в магнитоупорядоченные состояния, а также при индуцировании последних магнитным полем [4,5].

Конкуренция ОА легкоплоскостного типа и изотропного ОВ, например, в одноосных магнетиках со спином  $S = 1$  на узле приводит к тому, что переход в магнитоупорядоченное состояние происходит как квантовый ФП, являющийся ФП типа смещения, осуществляемый за счет спонтанного возникновения направленной в легкой плоскости спиновой (магнитной) поляризации ван-Флековских одноионных состояний [6–8].

Далее рассматривается предельный случай, когда несмотря на наличие ОА легкоплоскостного типа поляризации одноионных состояний при ФП не происходит. Такая ситуация возможна, например, при конкуренции ОА легкоплоскостного типа с анизотропным ОВ легкоосного типа. В магнетике же со спином  $S = 1$  ионов и ОА легкоплоскостного типа с анизотропным ОВ легкоосного типа основным ионным состоянием оказывается синглет, а магнитное упорядочение связано

с расщеплением вышележащего дублета под действием обменного поля, направленного вдоль оси. Фактически рассматривается вопрос об упорядочении изинговского магнетика с ОА, конкурирующей с ОВ. В реальных магнетиках всегда присутствует ОВ, содержащее спиновые проекции, перпендикулярные оси квантования. Тем не менее имеются магнетики с  $S = 1$  и ОА типа „легкая плоскость“ [9–14], где ОВ столь анизотропно, что может считаться одноосным. Таким образом, в отличие от случая, рассмотренного в [6–8], в настоящей работе будут изучены термодинамические особенности магнитного упорядочения при конкуренции только анизотропных (одно- и двуионных) взаимодействий.

Отметим еще одну особенность действия ОА легкоплоскостного типа, касающуюся изинговского антиферромагнетика (АФМ). В нем магнитное поле  $\mathbf{h}$ , ориентированное вдоль направления намагничивания, вызывает метамагнитный ФП между АФМ- и ферромагнитным состояниями. Однако, как было показано в экспериментах [13,14], в изинговских системах с легкоплоскостным типом ОА метамагнитный ФП происходит в несколько этапов, а в намагничивании соответственно наблюдаются несколько плато. В работе [15] была дана трактовка такому ступенчатому метамагнитному переходу, однако она касалась лишь температуры  $T = 0$ ; тем самым осталась вне рассмотрения фазовая  $h-T$ -диаграмма системы. Необходимо отметить, что даже в случае изинговского АФМ с  $S = 1/2$  на узле, когда ОА отсутствует в принципе, построение  $h-T$ -диаграммы является весьма нетривиальной задачей [16]. Поэтому прежде чем приступать к анализу фазовой диаграммы изинговского АФМ с

легкоплоскостной ОА, следует изучить термодинамические особенности установления в нем упорядочения при отсутствии магнитного поля.

Ранее формирование ферромагнитного порядка в модели с изинговским обменом и с легкоплоскостной ОА для систем с  $S = 1$  на узле обсуждалось в [17,18]. Однако, невзирая на кажущуюся простоту, исследуемая модель обладает весьма специфическими особенностями. Так, при упомянутом типе ОА уравнение состояния имеет два решения с ненулевой намагниченностью. Или, что еще более интересно, при значительном возрастании константы легкоплоскостной ОА, конкурирующей с анизотропным ОВ легкоосного типа, ФП из парамагнитного (ПМ) состояния в упорядоченное происходит как фазовый переход первого рода. Отмеченные особенности вызваны ОА легкоплоскостного типа, за счет которой основным одноионным состоянием является немагнитный синглет [19]. При возрастании константы ОА происходит увеличение заселенности этого синглета и уменьшение заселенности вышележащего дублета. Поэтому возникновение спонтанного поля, расщепляющего дублет, происходит при более низкой температуре. Но понижение температуры сжимает в свою очередь заселенность дублета. В результате при конкуренции анизотропных ОА и ОВ (особенно когда их величины сопоставимы) в модели возникает сильная обратная связь, которая и может привести к изменению рода ФП. Представляется интересным проанализировать, как эти особенности модели согласуются с термодинамической теорией ФП Ландау.

## 2. Гамильтониан и основное состояние изинговского АФМ

Модельный гамильтониан описанного выше АФМ можно записать в виде

$$H = \frac{1}{2} \sum_{\substack{\mathbf{n}_\alpha, \mathbf{m}_\beta \\ (\alpha \neq \beta)}} I_{\mathbf{n}_\alpha, \mathbf{m}_\beta} S_{\mathbf{n}_\alpha}^Z S_{\mathbf{m}_\beta}^Z + D \sum_{\mathbf{n}_\alpha} (S_{\mathbf{n}_\alpha}^Z)^2, \quad (1)$$

где первая сумма отвечает изинговскому ОВ, а вторая — ОА,  $\alpha, \beta = 1, 2$  — номера АФМ-подрешеток, а  $\mathbf{n}, \mathbf{m}$  номеруют ячейки;  $S_{\mathbf{n}_\alpha}^Z$  —  $Z$ -я проекция оператора спина;  $I_{\mathbf{n}_1, \mathbf{m}_2}$  — константа межподрешеточного обмена, поэтому  $I_{\mathbf{n}_1, \mathbf{m}_2} > 0$ ;  $D > 0$  — константа ОА легкоплоскостного типа,  $Z$  — координатная ось, направленная вдоль кристаллографической оси, являющейся и осью квантования.

Согласно приближению среднего поля, одноионный гамильтониан спинов подрешеток сводится к выражению

$$H_{\text{ан}} = -I s_\beta S_{\text{ан}}^Z + D (S_{\text{ан}}^Z)^2, \quad (2)$$

где  $I s_\beta$  — обменное поле, с которым спины одной подрешетки действуют на  $\mathbf{n}$ -й спин другой подрешетки,  $s_\beta = s$  — модуль среднего значения  $Z$ -й проекции спина,

а  $I = \sum_{\mathbf{m}_\beta (\neq \alpha)} I_{\mathbf{n}_\alpha \mathbf{m}_\beta}$  и учитывает в том числе и суммирование по ближайшим соседям. В (2) также учтено, что в АФМ спины подрешеток направлены противоположно.

Согласно (2), состояния ионов и их энергии соответственно записываются в виде

$$\psi_{\mathbf{n}_\alpha}^{(0)} = |1\rangle, \quad \psi_{\mathbf{n}_\alpha}^{(1)} = |0\rangle, \quad \psi_{\mathbf{n}_\alpha}^{(2)} = |-1\rangle, \quad (3)$$

$$\varepsilon_0 = -I s + D, \quad \varepsilon_1 = 0, \quad \varepsilon_2 = +I s + D. \quad (4)$$

При  $T \neq 0$  величина  $s$  зависит от температуры, но при  $T = 0$  его величина должна быть равна проекции спина одного из состояний (3). Поэтому при  $T = 0$  энергия основного состояния спина в АФМ-состоянии будет равна  $\varepsilon_0 = -I + D$  и ее величина должна быть меньше энергии первого возбужденного состояния из (4). Тем самым (см. (4)) граница устойчивости АФМ-фазы определяется условием  $D/I < 1$ .

Однако энергия взаимодействия системы в приближении самосогласованного поля в расчете на одну ячейку (она содержит два спина) может быть записана в виде

$$E = -I s_1 s_2 + D(Q_1 + Q_2), \quad (5)$$

где  $Q_1$  и  $Q_2$  — термодинамические средние квадрупольных спиновых моментов [2,20–22].

Если  $T = 0$ , компоненты квадрупольного момента в АФМ-состоянии  $Q_1 = Q_2 = 1$ , а в ван-флековском состоянии —  $Q_1 = Q_2 = 0$ . Таким образом, получаем, что при  $T = 0$  АФМ-состояние будет равновесным, если его энергия отрицательна, т.е. при  $D < I/2$ . Если  $T \neq 0$ , равенство энергий основного и первого возбужденного состояний определяет точку кроссовера. Из (4) имеем, что кроссовер происходит при температуре, когда средняя проекция спина подрешетки

$$s = \frac{D}{I}. \quad (6)$$

## 3. Свободная энергия и уравнения состояния

Запишем выражение для свободной энергии Гиббса в виде  $F = E - T \sigma_{\text{ен}}$ , где  $\sigma_{\text{ен}}$  — энтропия системы, которая при использовании одноионного приближения (2) записывается как

$$\sigma_{\text{ен}} = \sum_{\alpha, j} p_\alpha^{(j)} \ln p_\alpha^{(j)}, \quad (7)$$

где  $p_\alpha^{(j)}$  — вероятности состояний (3), которые линейно связаны со средними:  $p_\alpha^{(0)} - p_\alpha^{(2)} = s_\alpha = s$ ,  $p_\alpha^{(0)} + p_\alpha^{(2)} = Q_\alpha = Q$ , причем  $\sum_j p_\alpha^{(j)} = 1$ .

При определении выражения для  $F$  явно учтем эквивалентность спиновых состояний обеих подрешеток. Таким образом, в расчете на один ион находим следующее выражение для свободной энергии:

$$F = -\frac{1}{2}Is^2 + DQ + T \left[ \frac{Q+s}{2} \ln \frac{Q+s}{2} + \frac{Q-s}{2} \ln \frac{Q-s}{2} + (1-Q) \ln(1-Q) \right]. \quad (8)$$

Из условий минимума (8) следуют выражения для уравнений состояния:

$$\frac{\partial F}{\partial s} = -Is + \frac{T}{2} \left( \ln \frac{Q+s}{2} - \ln \frac{Q-s}{2} \right) = 0, \quad (9)$$

$$\frac{\partial F}{\partial Q} = D + T \left[ \frac{1}{2} \ln \frac{Q+s}{2} + \frac{1}{2} \ln \frac{Q-s}{2} - \ln(1-Q) \right] = 0. \quad (10)$$

Второе уравнение позволяет найти связь

$$Q(s) = \frac{\xi - k}{\xi - 1}, \quad (11)$$

где  $\xi = 4 \exp(-D/T)$ ,  $k = \sqrt{s^2(1-\xi) + \xi}$ .

Свободная энергия (8) отвечает ее определению согласно методу Горского–Брэгга–Вильямса [23]. В ней линейный по квадрупольному параметру порядка вклад от ОА не может привести к кооперативным эффектам и вызвать ФП. Параметром порядка, ответственным за ФП в магнитоупорядоченное состояние, является средняя величина проекции спина подрешетки. Поэтому свободную энергию можно записать в виде функционала, зависящего лишь от  $s$ . Выражение для  $F(s)$  нетрудно найти, используя приближение среднего поля. Однако необходимо учесть, что свободная энергия, определенная как логарифм статсуммы [24], рассчитанной по состояниям одночастичного гамильтониана (2), относится к приближенному расчету для случая равновесия. Здесь же  $F(s)$  является функцией параметра порядка, который не отвечает равновесию. Поэтому для ее расчета используем подход, предложенный Леонтовичем [25] и основанный на том, что уравнение согласования определяет эффективное поле, в котором возникающее значение  $s$  параметра порядка было бы равновесным, а неравновесность определялась работой этого поля. В итоге было получено выражение для  $F(s)$ , которое имеет вид

$$F(s) = \frac{-I}{2}s^2 + D \frac{\xi - k}{\xi - 1} + T \left\{ \frac{1}{2} \left( \frac{\xi - k}{\xi - 1} + s \right) \times \ln \frac{1}{2} \left( \frac{\xi - k}{\xi - 1} + s \right) + \frac{1}{2} \left( \frac{\xi - k}{\xi - 1} - s \right) \ln \frac{1}{2} \left( \frac{\xi - k}{\xi - 1} - s \right) + \left( 1 - \frac{\xi - k}{\xi - 1} \right) \ln \left( 1 - \frac{\xi - k}{\xi - 1} \right) \right\}. \quad (12)$$

Заметим, что  $F(s)$  в виде (12) может быть получена с помощью энергии (8) путем подстановки в нее величины  $Q(s)$ , определенной из (10). Таким образом, свободная энергия (12) соответствует приближению Горского–Брэгга–Вильямса и приближению среднего поля.

Окончательное выражение для уравнения состояния имеет вид

$$-Is + \frac{T}{2} \ln \left( 1 + \frac{2s(\xi - 1)}{\xi - k - s(\xi - 1)} \right) = 0. \quad (13)$$

Решения этого трансцендентного уравнения будем осуществлять численно. При этом оговорим, что практически для всех значений  $D$  переход между ПМ- и АФМ-состояниями происходит непрерывно, кроме узкой области  $D \rightarrow I/2$  со скачкообразным ФП.

#### 4. Описание перехода второго рода

Проанализируем поведение системы (1) в зависимости от безразмерной величины отношения  $D/I$ . На рис. 1 приведены зависимости для  $s(T)$  при  $D/I = 0.35$  и  $0.45$ , полученные из уравнения (13). Устойчивое решение определяется физическим условием  $s(T \rightarrow 0) \rightarrow 1$ . Из кривых видно, что, как говорилось, АФМ-состояние при повышении  $T$  непрерывно переходит в ПМ-состояние. ОА, увеличивая заселенность немагнитного синглета, приводит к уменьшению температуры  $T_{tr}$  перехода. Но в отличие от энтропии, также препятствующей установлению магнитного порядка, ОА, увеличивая заселенность немагнитного синглета, приводит к упорядоченности ПМ-фазы. Поэтому уменьшение  $T_{tr}$  является следствием конкуренции взаимодействий ОА и анизотропного ОВ, а не возрастающей степени беспорядка.

Из рис. 1 видно, что кроме устойчивых решений уравнение (13) дает еще и неустойчивые решения, которые появляются ниже точки перехода при  $T \ll T_{tr}$ . При увеличении  $D > 0$  температура возникновения неустойчивого решения возрастает и приближается к  $T_{tr}$ . Заметим, что при  $D < 0$  существует только одно решение и каких-либо дополнительных решений не возникает.

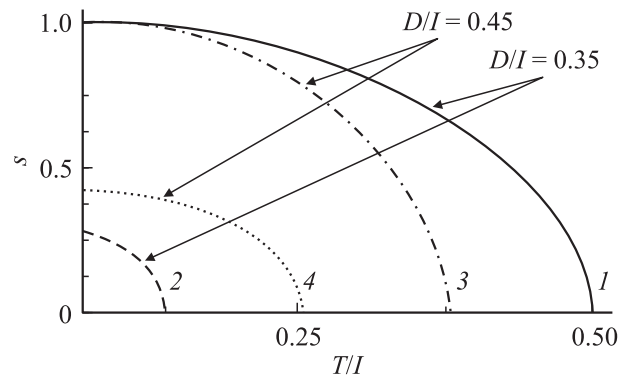


Рис. 1. Температурные зависимости для среднего спина подрешетки  $s(T)$  при  $D/I = 0.35$  (1, 2) и  $0.45$  (3, 4). 1, 3 — устойчивые решения, 2, 4 — неустойчивые.

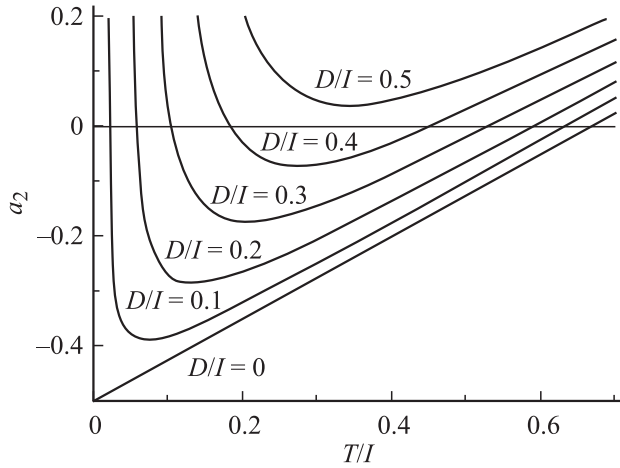


Рис. 2. Температурная зависимость коэффициента  $a_2(T)$  при разных значениях  $D/I$ .

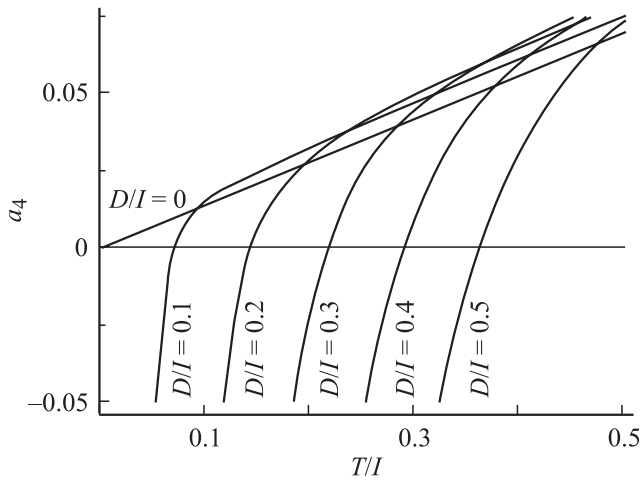


Рис. 3. Температурная зависимость коэффициента  $a_4(T)$  при разных значениях  $D/I$ .

Для неустойчивого решения  $s(T \rightarrow 0) = D/I$  и в нем нет кроссовера при  $T \neq 0$ . Это решение возникает при низких  $T$ , когда заселенность синглета основного состояния большая, а расщепление ионного дублета обменным полем является недостаточным, чтобы основное состояние было поляризованным. Энергия этого решения отвечает максимуму  $F(s)$ .

Проанализируем полученные решения в рамках феноменологической теории ФП. При малом  $s$  свободную энергию (12) можно представить в виде степенного ряда с четными степенями

$$F(T, s) = F(T, s = 0) + \sum_i a_{2j} s^{2j}, \quad (14)$$

коэффициенты которого  $a_{2j} = \partial^{2j} F(T, s) / \partial s^{2j}$ .

При  $D = 0$  коэффициент  $a_2(T)$  линейно зависит от  $T$  и только в точке перехода изменяет знак, а остальные коэффициенты с  $j > 1$  прямо пропорциональны  $T$  и

не изменяют своего знака. Это видно из рис. 2 и 3, на которых показаны зависимости для  $a_2(T)$  и  $a_4(T)$  при разных значениях  $D/I$ . ОА приводит к изменению температурных зависимостей  $a_2(T)$  и  $a_4(T)$ .

Из кривых, приведенных на рис. 2, видно, что коэффициент  $a_2(T)$  может дважды изменять свой знак, или, наоборот, не изменять его, оставаясь положительным. При этом устойчивость ПМ-фазы определяется условием  $a_2(T) > 0$ . Первый раз  $a_2(T)$  обращается в нуль при  $T = T_{tr}$  и при ФП из ПМ- в АФМ-состояние изменяет свой знак с положительного на отрицательный, а коэффициент  $a_4(T)$  при  $T = T_{tr}$  положительный. Эти знаки коэффициентов  $a_{2j}(T)$  отвечают, как известно [26], условиям теории Ландау ФП второго рода.

Неустойчивые решения, образующиеся при низких  $T$ , также возникают в точке, когда коэффициент  $a_2(T) = 0$ , но для них, как видно из рис. 2, знак  $a_2(T)$  при понижении  $T$ , наоборот, изменяется с отрицательного на положительный, а знак  $a_4(T)$  в этой области отрицательный. При таких коэффициентах потенциала Ландау (14) система неустойчива.

Итак, ОА приводит к сильной температурной зависимости коэффициентов  $a_2(T)$  в (14). Несмотря на это возникновение устойчивого и неустойчивого решений уравнение состояния (13) с теорией ФП Ландау. Из рис. 2 также следует, что при увеличении отношения  $D/I$  происходит сближение точек, в которых  $a_2(T) = 0$ , и начиная с некоторого значения  $D/I$  коэффициент  $a_2(T)$  сохраняет положительный знак. В этом случае ПМ-фаза устойчива при всех  $T$  вплоть до  $T \rightarrow 0$ , и переход к АФМ-состоянию будет скачкообразным.

## 5. Описание перехода первого рода

На рис. 4 приведено решение уравнения состояния (13) при  $D/I = 0.47$ , когда  $a_2(T) > 0$ . Для этого решения (имеющего вид „языка“) средняя проекция спина подрешетки имеет только конечные значения, которые

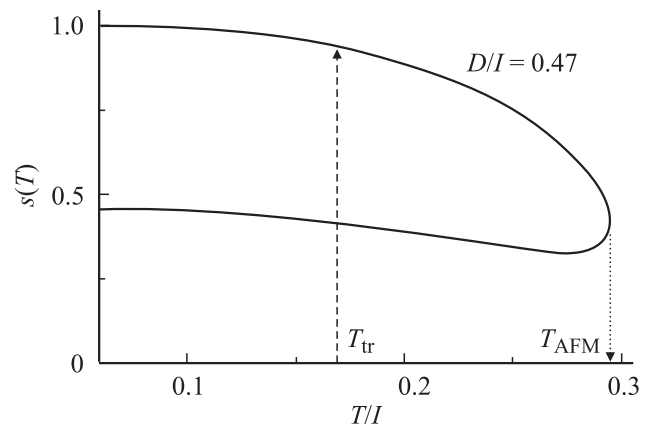
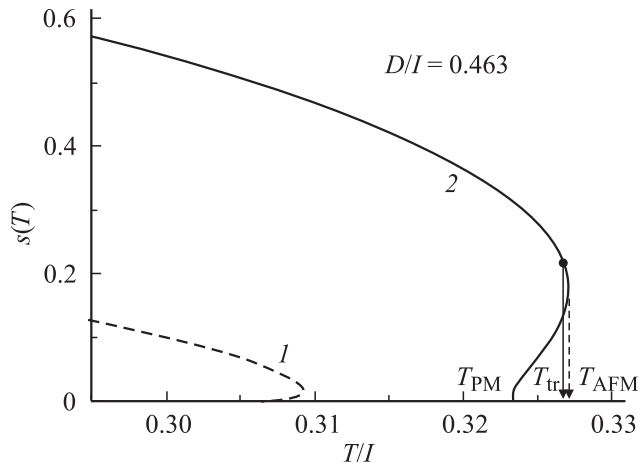


Рис. 4. Решение уравнения состояния (13) при  $D/I = 0.47$ . Стрелкой обозначен скачок подрешеточной намагниченности в точке ФП  $T = T_{tr}$ .



**Рис. 5.** Решения уравнения состояния при  $D/I = 0.463$ . 1 — неустойчивое (низкотемпературное) решение, 2 — высокотемпературное решение.

во всей области  $T$  не стремятся к нулю. Непрерывно перейти от этого решения к ПМ с  $s = 0$  невозможно, поэтому ФП между этими состояниями может быть только первого рода. Анализ  $F(s)$  для этого решения показывает, что его верхняя часть устойчива и для нее  $s \rightarrow 1$  при  $T \rightarrow 0$ . Нижняя часть решения при  $T \rightarrow 0$  имеет  $s$ , описываемое (6), и эта ветка неустойчива. Граница устойчивости АФМ-состояния отвечает максимальной температуре с ненулевым значением  $s$ , она на рис. 5 обозначена  $T_{AFM}$ . Граница устойчивости ПМ-фазы равна  $T_{PM} = 0$ . Точка ФП (ее также обозначим  $T_{tr}$ ) между ПМ- и АФМ-фазами найдена из равенства свободных энергий этих состояний. В точке ФП происходит скачок средней проекции спина подрешетки от  $s = 0$  к  $s \neq 0$ , который на рис. 4 изображен стрелкой. Величина скачка близка к предельному значению ( $s = 1$ ), и поэтому для описания такого ФП неприменимо разложение  $F(s)$  в виде (14).

Точка, в которой  $a_2(T) = 0$  имеет только одно решение и касается оси  $T$  на рис. 2, определяется двумя трансцендентными уравнениями: одно уравнение для  $T$ , а второе — для  $D$ :

$$\frac{I - T_0}{T_0} = \frac{1}{2} e^{\frac{-T}{T_0}}, \quad \frac{2I}{D_0} = e^{\frac{T+D_0}{D_0}}. \quad (15)$$

Из (15) имеем  $D_0/I = 0.463$ ,  $T_0/I = 0.316$ . Однако точка  $D_0, T_0$  не является трикритической. В ней четвертая производная свободной энергии, определенная при  $s = 0$ , отрицательна. Это означает, что ФП первого рода существует при  $D < D_0$  и  $T > T_0$ .

Положение трикритической точки найдем при одновременном равенстве нулю коэффициентов  $a_2(T_{cr}) = 0$  и  $a_4(T_{cr}) = 0$ , из которых  $T_{cr} = I/3$ ,  $D_{cr} = (I/3) \ln 4$ .

В интервале  $D_{cr} < D < D_0$  коэффициент  $a_4$  проходит нуль при большей  $T$ , чем коэффициент  $a_2$ , при этом  $a_6 > 0$ . Такое поведение отвечает переходу первого рода

вблизи трикритической точки. Теперь в отличие от случая, рассмотренного на рис. 4, снова для описания ФП можно применять теорию Ландау [26].

На рис. 5 приведено решение уравнения состояния для  $D$  из интервала значений  $D_{cr} < D < D_0$ . Как и выше, имеем неустойчивое (низкотемпературное) решение. Высокотемпературное решение непрерывно стремится к  $s = 0$ . Однако в области  $T$ , когда  $s \rightarrow 0$ , на зависимости  $s(T)$  имеется неоднозначность, когда одной температуре отвечают два решения с  $s \neq 0$ . Это приводит к первому роду перехода между ПМ- и АФМ-состояниями. Точка ФП определена из пересечения кривых температурных зависимостей свободных энергий этих фаз (на рис. 5 этот переход обозначен стрелкой).

Поведение системы при  $D_{cr} < D < D_0$  можно описать, используя разложение (14), ограничиваясь в нем слагаемыми до шестой степени. Результаты, полученные с использованием потенциала Ландау для описания ФП в этой области значений  $D$ , качественно согласуются с результатами, приведенным на рис. 5. Имеются, однако, и количественные расхождения, которые все более ощутимы при удалении от точки ФП. Отметим также, что при  $D_{cr} < D < D_0$  величина  $T_{tr}$  мало отличается от  $T_{AFM}$ . В частности, для случая, показанного на рис. 5, такое отличие оставляет лишь  $\sim 1\%$ .

## 6. Фазовая диаграмма

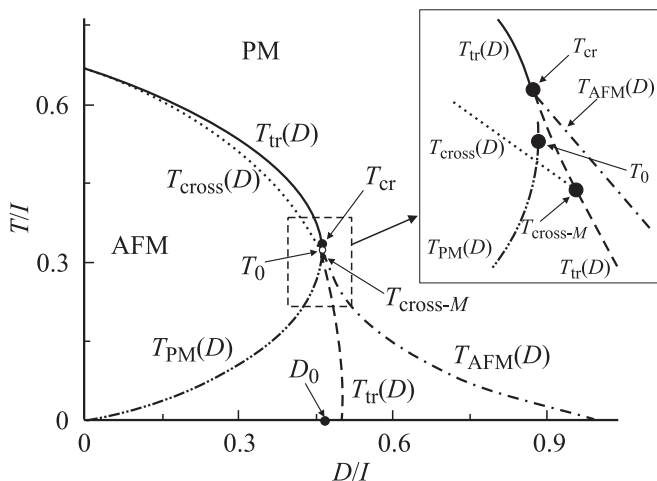
На основании проведенного рассмотрения построена фазовая диаграмма модели (1). На ней (рис. 6) приведены зависимости  $T_{tr}(D)$  ФП между ПМ- и АФМ-состояниями в зависимости от величины константы ОА, границы устойчивости парамагнитной  $T_{PM}(D)$  и антиферромагнитной  $T_{AFM}(D)$  фаз, а также определенная с помощью соотношения (6) зависимость для величины точки кроссовера  $T_{cross}(D)$ . Видно, что возрастание  $D$  приводит к уменьшению температуры перехода второго рода между этими состояниями. При этом зависимость  $T_{cross}(D)$  для кроссовера лежит ниже  $T_{tr}(D)$ . Устойчивость АФМ-фазы изменяется непрерывно и при  $T \rightarrow 0$  ограничена значением  $D/I \rightarrow 1$ , что согласуется с результатами, полученными выше при анализе основного состояния системы при  $T = 0$ .

Зависимость  $T_{PM}(D)$ , ограничивающая область устойчивости ПМ-состояния, определяется равенством  $a_2(T) = 0$  при  $s = 0$ . В рассматриваемой модели это выражение можно представить аналитически зависимостью  $D = D(T_{PM})$ , которая имеет вид

$$D = \frac{T_{PM}}{I} \ln \frac{2(I - T_{PM})}{T_{PM}}. \quad (16)$$

На рис. 6 ход  $T_{PM}(D)$  был определен с помощью (16). В области ФП второго рода зависимости  $T_{PM}(D)$  и  $T_{tr}(D)$  совпадают, а при ФП первого рода они идут по-разному.





**Рис. 6.** Фазовая диаграмма изинговского АФМ с легкоплоскостной ОА. Зависимость температуры ФП  $T_{tr}(D)$  обозначена сплошной линией при переходе второго рода и штриховой при переходе первого рода, линия кроссовера  $T_{cross}(D)$  обозначена пунктиром. Линии устойчивости  $T_{AFM}(D)$  и  $T_{PM}(D)$  обозначены штрихпунктиром и двойным штрихпунктиром соответственно. На вставке показан вид фазовой диаграммы вблизи трикритической точки.

ФП из ПМ- в АФМ-состояние происходит за счет расщепления ионных дублетов спонтанно возникающим при  $T = T_{tr}$  обменным полем. В ПМ- и АФМ-фазах при  $T < T_{tr}$  основным состоянием ионов является немагнитный синглет. И лишь при  $T < T_{cross}$  основное состояние иона становится спин-поляризованным. Таким образом, когда  $T_{cross} < T_{tr}$  ФП между ПМ- и АФМ-состояниями относится не к ФП типа порядок–порядок, а к обычным магнитным ФП типа порядок–беспорядок.

Начиная с трикритической точки, переход между ПМ- АФМ-состояниями происходит как переход первого рода (его кривая  $T_{tr}(D)$  обозначена штриховой линией). На вставке показано, что в точке  $T_{cross-M}$  кривая  $T_{cross}(D)$  пересекает кривую  $T_{tr}(D)$  и при больших  $D$  кроссовера не будет. При таких больших  $D$  основное ионное состояние в точке  $T = T_{tr}$  имеет предельную спиновую поляризацию и происходящий по  $T$  переход протекает аналогично ФП при  $T = 0$ , если изменяется величина  $D$ . Следовательно, с исчезновением кроссовера при  $T < T_{cross-M}$  ФП между ПМ- и АФМ-состояниями является квантовым ФП и относится, согласно [6–8], к магнитным ФП типа смещения, или к ФП типа порядок–порядок.

## 7. Заключение

Из работы следует, что для модели Изинга с положительной ОА и спином на узле  $S = 1$  конкуренция анизотропного легкоосного ОВ и ОА легкоплоскостного типа не сводится к конкуренции взаимодействий, стремящихся изменить направления параметра порядка, как при

ориентационных ФП. Напротив, в исследуемой системе проявляется влияние трех разных по своему характеру процессов: возникновение магнитного порядка за счет ОВ; установление немагнитного порядка за счет ОА, приводящей к возрастанию заселенности немагнитного синглета; возникновение беспорядка за счет энтропии. В результате ОА коэффициенты потенциала Ландау испытывают сильную температурную зависимость, которая приводит к появлению неустойчивых решений и к изменению рода ФП. Но несмотря на это, теория Ландау применима к описанию ФП второго рода, а также ФП первого рода, но только вблизи трикритической точки, т.е. когда речь идет о ФП первого рода, близком к переходу второго рода. В области, удаленной от трикритической точки, когда скачок параметра порядка почти равен его предельному значению, потенциал Ландау для описания ФП первого рода от ПМ- к АФМ-состоянию неприменим. В этом случае ПМ-фаза устойчива при всех  $T$  вплоть до  $T \rightarrow 0$ . И если  $T_{cross} < T_{tr}$ , то переход между ПМ- и АФМ-состояниями является уже квантовым ФП. В этом случае теория Ландау также неприменима.

Принято считать, что к первому роду ФП из ПМ- в ферромагнитное или АФМ-состояния приводят, например, взаимодействия магнитной подсистемы кристалла с его упругой подсистемой, которое по своей сути модифицируют ОВ, эффективно приводя к так называемым негейзенберговским ОВ, изменяющим знак  $a_4$  потенциала Ландау [27]. Как было показано выше, в изинговском магнетике к первому роду ФП между упорядоченным и неупорядоченным состояниями может привести сильная ОА, вымораживающая ионные состояния с ненулевой проекцией спина.

## Список литературы

- [1] А.Ф. Андреев, В.И. Марченко. УФН **130**, 39 (1980).
- [2] В.Г. Барьяхтар, А.А. Галкин, А.Н. Богданов, В.Т. Телера. ЖЭТФ **79**, 226 (1980).
- [3] В.М. Локтев, В.С. Островский. ФНТ **20**, 983 (1994).
- [4] Р.С. Гехт. УФН **159**, 261 (1989).
- [5] Б.С. Думеш. УФН **170**, 403 (2000).
- [6] В.М. Калита, В.М. Локтев. ФТТ **45**, 1450 (2003).
- [7] В.М. Калита, В.М. Локтев. ЖЭТФ **125**, 1149 (2004).
- [8] В.М. Калита, В.М. Локтев. ФНТ **32**, 158 (2006).
- [9] R.E. Greeney, C.P. Landee, J.H. Zhang, W.M. Reiff. Phys. Rev. B **39**, 12201 (1989).
- [10] M. Orendac, E. Cizmar, A. Orendacova, J. Cernak, A. Feher, M.W. Meisel, K.A. Abbout, S. Zvyagin, M. Sieling, T. Rieth, B. Luti. Phys. Rev. B **61**, 3223 (2000).
- [11] E. Aydiner, C. Akyüz. cond-mat/0501111 (2005).
- [12] Y. Narumi, M. Hagiwara, M. Kohno, K. Kindo. Phys. Rev. Lett. **86**, 324 (2001).
- [13] Y. Narumi, M. Hagiwara, R. Sato, K. Kindo, H. Nakano, M. Takahashi. Physica **246** B, 509 (1998).
- [14] T. Sakai, N. Okazaki, K. Okamoto, K. Kindo, Y. Narumi, Y. Hosokoshi, K. Kato, K. Inoue, T. Goto. Phys. Stat. Sol. (b) **236**, 429 (2003).

- [15] В.М. Калита, В.М. Локтев. ФНТ **31**, 815 (2005).
- [16] В.Г. Барьяхтар, И.М. Витебский, Д.А. Яблонский. ФТТ **19**, 2135 (1977).
- [17] H.W. Capiel. Physica **33**, 295 (1967).
- [18] M. Blume, V.J. Emery. Phys. Rev. A **4**, 1071 (1971).
- [19] А.К. Звездин, В.М. Матвеев, А.А. Мухин. А.И. Попов. Редкоземельные ионы в магнитоупорядоченных кристаллах. Наука, М. (1985). 296 с.
- [20] Ф.П. Онуфриева. ЖЭТФ **89**, 2270 (1985).
- [21] В.В. Вальков, Г.Н. Мацулева, С.Г. Овчинников. ФТТ **31**, 60 (1989).
- [22] Ю.А. Фридман, О.А. Космачев, Б.Л. Эйнгорн. ФНТ **29**, 744 (2003).
- [23] Р. Браут. Фазовые переходы. Мир, М. (1967). 288 с.
- [24] С.В. Тябликов. Методы квантовой теории магнетизма. Наука, М. (1975). 528 с.
- [25] М.А. Леонтович. ЖЭТФ **8**, 844 (1938).
- [26] Ю.М. Гуфан. Структурные фазовые переходы. Наука, М. (1982) 304 с.
- [27] С.Д. Вонсовский. Магнетизм. Наука, М. (1971). 1032 с.